

АНАЛІТИЧНІ ВЛАСТИВОСТІ ПРОПАГАТОРА В ТОЧНО РОЗВ'ЯЗУВАНІЙ ТЕОРІЇ ПОЛЯ

О. О. Лісовий

*Київський національний університет імені Тараса Шевченка, фізичний факультет,
пр. академіка Глушкова, 6, Київ, 03022, Україна
(Отримано 16 жовтня 2000 р.)*

У праці подано інтерпретацію результатів точного розв'язку 2D моделі Ізинга з погляду квантової теорії поля. Знайдено імпульсне зображення 2-точкової кореляційної функції та його аналітичне продовження на часоподібну область $p^2 < 0$. Показано, що в paramagnet-ній фазі пропагатор моделі Ізинга має простий полюс у точці $p^2 = -m^2$, а також логарифмічні точки галуження при $p^2 = -9m^2, -25m^2, \dots$, що відповідають порогам народження n -частинкових проміжних станів. Досліджено поведінку скачка пропагатора на порогах і його асимптотичну поведінку при $|p^2| \rightarrow \infty$.

Ключові слова: квантова теорія поля, модель Ізинга, кореляційна функція, пропагатор.

PACS number(s): 05.50.+q, 11.10.-z

I. ВСТУП

Після обчислення вільної енергії і двоточкової кореляційної функції в працях [1–3] модель Ізинга широко застосовували в теорії твердого тіла в описі критичних явищ. При цьому звичайно розглядали феромагнетну фазу в скейлінговій ділянці (див. напр. [4]). Однак ці результати можуть бути використані й у квантовій теорії поля. Шуканими величинами в цьому випадку є одночастинково-незвідні функції Гріна $\Gamma^{(n)}$.

Розглянемо, наприклад, евклідову теорію φ^4 з від'ємним квадратом маси й дією

$$S[\varphi] = \int d^d x \left(\frac{1}{2} \partial_\mu \varphi \partial_\mu \varphi - \frac{m^2}{2} \varphi^2 + \frac{g}{4} \varphi^4 \right).$$

Кореляційні функції полів виражаються через функціональні інтеграли

$$\langle \varphi_1 \cdots \varphi_n \rangle = \frac{\int d[\varphi] e^{-S[\varphi]} \varphi_1 \cdots \varphi_n}{\int d[\varphi] e^{-S[\varphi]}}.$$

Якщо замінити інтегрування за координатами підсумуванням за ґраткою, то функціональні інтеграли перейдуть у багатократні інтеграли за полями у вузлах ґратки

$$\int d[\varphi] e^{-S[\varphi]} \rightarrow \int_{-\infty}^{\infty} \cdots \int_{-\infty}^{\infty} \prod_r d\varphi_r \exp \left[-\frac{1}{2} \left(\varphi_r \hat{L} \varphi_r \right) - g a^d \left(\frac{1}{4} \varphi_r^4 - \frac{m^2}{2g} \varphi_r^2 \right) \right],$$

$$\hat{L} = a^{d-2} \sum_{j=1}^d (\nabla_{r+\hat{x}_j} + \nabla_{r-\hat{x}_j} - 2).$$

Тут r нумерує вузли ґратки, ∇ — оператор зсуву, \hat{x}_j — одиничні вектори вздовж кожної з координатних осей, a — крок ґратки.

Розглянемо випадок, коли $(ga^2) \gg 1$, а m^2/g — скінченна додатна величина. Тоді в першому наближенні за $1/(ga^2)$ інтеграл за $[\varphi_r]$ можна обчислити методом перевалу

$$\int d[\varphi] e^{-S[\varphi]} \varphi_1 \cdots \varphi_n \rightarrow C \sum_{[\tilde{\varphi}_r]} \tilde{\varphi}_1 \cdots \tilde{\varphi}_n \exp \left[-\frac{1}{2} \sum_r \tilde{\varphi}_r a^{d-2} \sum_{j=1}^d (\nabla_{r+\hat{x}_j} + \nabla_{r-\hat{x}_j}) \tilde{\varphi}_r \right]. \quad (1.1)$$

У формулі (1.1) підсумовування проведено за всіма конфігураціями $[\tilde{\varphi}_r]$, що відповідають максимуму показника експоненти $\tilde{\varphi}_r = \pm\sqrt{m^2/g}$.

Таким чином, ми отримали, що за наведених умов на m^2 і g кореляційні функції теорії $g\varphi^4$ та моделі Ізинга зі взаємодією найближчих сусідів збігаються з точністю до сталих множників у просторі довільної вимірності. Ці міркування узагальнюються й на потенціял довільної форми з двома різкими, симетрично розташованими мінімумами однакової глибини.

При $T > T_c$ (парамагнетна фаза) спінова кореляційна функція 2D моделі Ізинга має простий полюс у площині імпульсу і відповідає пропагаторові теорії скалярного взаємодіючого поля з потенціалом Ландау–Гінзбурга при великій константі зв'язку. Відповідна одночастинкова–незвідна функція $\Gamma^{(2)}$ може бути обчислена поза рамками теорії збурень.

Аналітичні властивості пропагатора в комплексній площині імпульсу є наслідками властивостей взаємодії. Ми знайдемо імпульсне зображення цього пропагатора та дослідимо порогову й асимптотичну поведінку його скачка.

II. ИМПУЛЬСНЕ ЗОБРАЖЕННЯ ПРОПАГАТОРА

Статистична сума моделі Ізинга зі взаємодією найближчих сусідів на прямокутній ґратці розміром $M \times N$ (див. рис. 1) має вигляд

$$Z = \sum_{[\sigma]} e^{-\beta H[\sigma]}, \quad (2.1)$$

де $H[\sigma]$ – гамільтоніян моделі

$$-\beta H[\sigma] = \sum_r K(\sigma_r \sigma_{r+\hat{x}} + \sigma_r \sigma_{r+\hat{y}}). \quad (2.2)$$

Ізингівський спін σ набуває значення ± 1 , суму в (2.1) узято за всіма конфігураціями спінів, K – параметр зв'язку.

Далі ми розглянемо спінову кореляційну функцію

$$\langle \sigma_0 \sigma_R \rangle = Z^{-1} \sum_{[\sigma]} \sigma_0 \sigma_R \exp(-\beta H[\sigma])$$

у випадку, коли спіни σ_0 і σ_R знаходяться на одній лінії (див. рис. 1). Відомо [5,6], що статистичну суму й кореляційну функцію 2D моделі Ізинга можна подати у вигляді функціональних інтегралів за дійсним ґрасмановим чотирикомпонентним полем

$$Z = (2 \cosh^2 K)^{MN} \int d[\psi] \exp(S[\psi]), \quad (2.3)$$

$$\langle \sigma_0 \sigma_R \rangle = t^{-R} \frac{\int d[\psi] \exp(S_{def}[\psi])}{\int d[\psi] \exp(S[\psi])}, \quad (2.4)$$

$$t = \tanh K.$$

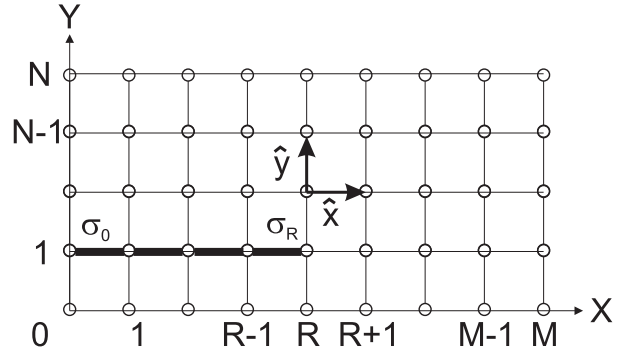


Рис. 1. Нумерація вузлів ґратки. Жирною лінією відзначено зв'язки з деформованою константою взаємодії.

Дія у формулі (2.4) має вигляд

$$S[\psi] = \frac{1}{2} (\psi, \hat{D}\psi) = \frac{1}{2} \sum_r \sum_{\alpha=1}^4 \sum_{\beta=1}^4 \psi_r^\alpha D_{\alpha\beta} \psi_r^\beta,$$

$$\hat{D} = \begin{pmatrix} 0 & 1+t\nabla_x & 1 & 1 \\ -1-t\nabla_{-x} & 0 & -1 & 1 \\ -1 & 1 & 0 & 1+t\nabla_y \\ -1 & -1 & -1-t\nabla_{-y} & 0 \end{pmatrix}.$$

Тут ∇_x, ∇_y – оператори зсуву на одиничний вектор уздовж осей OX та OY ($\nabla_x \psi_r^\alpha = \psi_{r+\hat{x}}^\alpha, \nabla_y \psi_r^\beta = \psi_{r+\hat{y}}^\beta$). Деформована дія S_{def} відрізняється від S дефектом на лінії, що з'єднує спіни у вузлах $(0,0)$ та $(R,0)$

$$S_{def}[\psi] - S[\psi] = (t^2 - 1) \sum_{j=0}^{R-1} \psi_{j,0}^1 (\psi_{j,0}^2 + \psi_{j,0}^3 + \psi_{j,0}^4).$$

Користуючись формуллою (2.4), кореляційну функцію в парамагнетній ділянці можна записати через визначник й обернені елементи матриці Телліца розмірністю $R+1$:

$$\langle \sigma_0 \sigma_R \rangle = |A| A_{0R}^{-1},$$

$$A_{xx'} = \frac{1}{2\pi i} \oint_{|z|=1} \frac{dz}{z} z^{x'-x} \left[\frac{(1-\alpha z^{-1})(1-\beta z^{-1})}{(1-\alpha z)(1-\beta z)} \right]^{\frac{1}{2}},$$

$$\alpha = t e^{2K}, \quad \beta = t e^{-2K}.$$

Точці фазового переходу відповідає $\alpha = 1$. Під скейлінговою границею ми розуміємо границю

$$1 - \alpha = m \cdot a \rightarrow 0, \quad R \rightarrow \infty$$

при умові, що скейлінгова відстань $s = (1 - \alpha)R$ за-

лишається скінченною величиною. У цьому випадку Палмер і Трейсі в праці [7] знайшли зображення для $\langle \sigma_0 \sigma_R \rangle$ у вигляді ряду

$$\langle \sigma_0 \sigma_R \rangle = \chi \sum_{n=0}^{\infty} F_{2n+1}(s),$$

де

$$\chi = [(1 - \alpha^2)(1 - \beta^2)(1 - \alpha\beta)^2]^{\frac{1}{4}},$$

$$F_n(s) = \frac{1}{n!} \int_0^{\infty} \cdots \int_0^{\infty} \frac{du_1}{2\pi u_1} \cdots \frac{du_n}{2\pi u_n} \prod_{j=1}^n e^{-\frac{s}{2}(u_j + u_j^{-1})} \prod_{1 \leq i < j \leq n} \left(\frac{u_i - u_j}{u_i + u_j} \right)^2. \quad (2.5)$$

Розглянемо вираз

$$A_n = \int_{-\infty}^{\infty} \cdots \int_{-\infty}^{\infty} \frac{dx_1 dy_1 \cdots dx_n dy_n}{\prod_{j=1}^n (1 + x_j^2 + y_j^2)} \prod_{1 \leq i < j \leq n} \left(\frac{x_i - x_j}{y_i + y_j} \right)^2 \prod_{j=1}^n e^{i\overline{M}x_j + i\overline{N}y_j}. \quad (2.6)$$

Після інтегрування за всіма y_j і заміни $x_j = \sinh \varphi_j$ він зводиться до

$$A_n = \pi^n \int_{-\infty}^{\infty} \cdots \int_{-\infty}^{\infty} d\varphi_1 \cdots d\varphi_n \prod_{j=1}^n e^{-\sqrt{\overline{M}^2 + \overline{N}^2} \cosh \varphi_j} \prod_{1 \leq i < j \leq n} \left(\frac{1}{i} \tanh \frac{\varphi_i - \varphi_j}{2} \right)^2.$$

Легко бачити, що цей вираз інваріантний щодо обертань у площині $(\overline{M}, \overline{N})$. Після заміни $u_i = e^{\varphi_i}$ в (2.5) одержимо

$$F_n = \frac{1}{(2\pi)^n n!} \int_{-\infty}^{\infty} \cdots \int_{-\infty}^{\infty} d\varphi_1 \cdots d\varphi_n \prod_{j=1}^n e^{-s \cosh \varphi_j} \prod_{1 \leq i < j \leq n} \tanh^2 \left(\frac{\varphi_i - \varphi_j}{2} \right).$$

Бачимо, що коли вибрати

$$s = \sqrt{\overline{M}^2 + \overline{N}^2}, \quad (2.7)$$

то вирази для F_n і A_n відрізнятимуться тільки сталими множниками:

$$F_n = \frac{i^{n(n-1)}}{(2\pi^2)^n n!} A_n.$$

Перевага (2.6) в тому, що від A_n легко обчислити фур'є-перетворення. Справді, уведемо розмірні відстань і масу

$$\overline{M} = mx, \quad \overline{N} = my.$$

Унаслідок інваріантності (2.7) щодо обертань фур'є-зображення є функцією квадрата імпульсу $p^2 = p_x^2 + p_y^2$ і дорівнює

$$\tilde{A}_n(p_x, p_y) = \int_{-\infty}^{\infty} \int_{-\infty}^{\infty} dx dy A_n(p_x, p_y) e^{-ip_x x - ip_y y} = \int_{-\infty}^{\infty} \cdots \int_{-\infty}^{\infty} \frac{dx_1 dy_1 \cdots dx_n dy_n}{\prod_{j=1}^n (1 + x_j^2 + y_j^2)} \prod_{1 \leq i < j \leq n} \left(\frac{x_i - x_j}{y_i + y_j} \right)^2$$

$$\begin{aligned} & \times \int_{-\infty}^{\infty} \int_{-\infty}^{\infty} dx dy \exp \left[ix \left(\sum_{j=1}^n mx_j - p_x \right) + iy \left(\sum_{j=1}^n my_j - p_y \right) \right] \\ & = 2\pi \int_{-\infty}^{\infty} \cdots \int_{-\infty}^{\infty} \frac{d\vec{p}_1 \cdots d\vec{p}_n}{\prod_{j=1}^n (m^2 + p_j^2)} \prod_{1 \leq i < j \leq n} \left(\frac{p_i^x - p_j^x}{p_i^y + p_j^y} \right)^2 \delta \left(p_y - \sum_{j=1}^n p_j^y \right) \int_{-\infty}^{\infty} dx \exp \left[ix \left(\sum_{j=1}^n p_j^x - p_x \right) \right]. \end{aligned}$$

Поміняймо місцями порядок інтегрування за $[p_j^x]$ і за x в останньому виразі та проінтегруймо його за $[p_j^x]$:

$$\begin{aligned} \tilde{A}_n(p_x, p_y) &= (2\pi)^{n+1} \int_{-\infty}^{\infty} \cdots \int_{-\infty}^{\infty} \frac{dp_1^y \cdots dp_n^y}{\prod_{j=1}^n 2 \sqrt{m^2 + (p_j^y)^2}} \delta \left(p_y - \sum_{j=1}^n p_j^y \right) \\ &\times \prod_{1 \leq i < j \leq n} \left[\frac{\sqrt{m^2 + (p_i^y)^2} - \sqrt{m^2 + (p_j^y)^2}}{i(p_i^y + p_j^y)} \right]^2 \int_{-\infty}^{\infty} dx \exp \left[ix p_x - |x| \sum_{j=1}^n \sqrt{m^2 + (p_j^y)^2} \right]. \end{aligned} \quad (2.8)$$

Після позначення $\omega_i = \sqrt{p_i^2 + m^2}$ та інтегрування за x в (2.8) маємо

$$\begin{aligned} \tilde{A}_n(p_x, p_y) &= (2\pi)^{n+1} i^{n(n-1)} \int_{-\infty}^{\infty} \cdots \int_{-\infty}^{\infty} \frac{dp_1 \cdots dp_n}{\prod_{j=1}^n 2\omega_j} \delta \left(p_y - \sum_{j=1}^n p_j \right) \\ &\times \prod_{1 \leq i < j \leq n} \left(\frac{\omega_i - \omega_j}{p_i + p_j} \right)^2 \left(\frac{1}{\sum_{j=1}^n \omega_j - ip_x} + \frac{1}{\sum_{j=1}^n \omega_j + ip_x} \right). \end{aligned}$$

Остаточний вираз для фур'є-зображення $\tilde{F}_n(\varepsilon, p)$ має вигляд

$$\tilde{F}_n(\varepsilon, p) = \frac{2\pi}{\pi^n n!} \int_{-\infty}^{\infty} \cdots \int_{-\infty}^{\infty} \frac{dp_1 \cdots dp_n}{\prod_{j=1}^n 2\omega_j} \delta \left(p - \sum_{j=1}^n p_j \right) \prod_{1 \leq i < j \leq n} \left(\frac{\omega_i - \omega_j}{p_i + p_j} \right)^2 \left(\frac{1}{\sum_{j=1}^n \omega_j - i\varepsilon} + \frac{1}{\sum_{j=1}^n \omega_j + i\varepsilon} \right). \quad (2.9)$$

Це є не що інше, як імпульсне зображення пропагатора, записане в стандартній для квантової теорії поля формі. При $\varepsilon = iE$ підінтегральний вираз у (2.9) стає сингулярним. Скачок пропагатора на розрізі дорівнює

$$\begin{aligned} \tilde{H}_n(E, p) &= [\tilde{F}_n(\varepsilon = iE + \delta, p) - \tilde{F}_n(\varepsilon = iE - \delta, p)]_{\delta \rightarrow +0} \\ &= i \frac{4\pi^2}{\pi^n n!} \int_{-\infty}^{\infty} \cdots \int_{-\infty}^{\infty} \frac{dp_1 \cdots dp_n}{\prod_{j=1}^n 2\omega_j} \delta \left(p - \sum_{j=1}^n p_j \right) \delta \left(E - \sum_{j=1}^n \omega_j \right) \prod_{1 \leq i < j \leq n} \left(\frac{\omega_i - \omega_j}{p_i + p_j} \right)^2. \end{aligned} \quad (2.10)$$

III. ПОРОГОВА Й АСИМПТОТИЧНА ПОВЕДІНКА СКАЧКА ПРОПАГАТОРА

Нагадаймо, що ми отримали зображення для скачка пропагатора у вигляді ряду

$$\tilde{H}(E, p) = \chi \sum_{k=0}^{\infty} \tilde{H}_{2k+1}(E, p),$$

де $\tilde{H}_{2k+1}(E, p)$ обчислюється за формулою (2.10). Кожному з доданків $\tilde{H}_{2k+1}(E, p)$ відповідає сингулярність пропагатора в точці $E^2 = [(2k+1)m]^2 + p^2$.

Розгляньмо систему центра мас ($p = 0$) й обчислім $\tilde{H}_n(E, p)$ при $E = nm + \varepsilon$, $\varepsilon \ll m$ (на порозі):

$$\tilde{H}_n(\varepsilon) \approx i \frac{4\pi^2}{\pi^n n!} \int_{-\infty}^{\infty} \cdots \int_{-\infty}^{\infty} \frac{dp_1 \cdots dp_n}{2^n m^n} \delta\left(\sum_{j=1}^n p_j\right) \delta\left(\varepsilon - \sum_{j=1}^n \frac{p_j^2}{2m}\right) \prod_{1 \leq i < j \leq n} \left(\frac{p_i - p_j}{2m}\right)^2.$$

Після заміни $p_j = \sqrt{2\varepsilon m} u_j$ легко бачити, що

$$\tilde{H}_n(\varepsilon) \sim \varepsilon^{(n^2-3)/2}.$$

При великих енергіях ($E \gg nm$) \tilde{H}_n також можна обчислити:

$$\tilde{H}_n(E) \approx i \frac{4\pi^2}{\pi^n n!} \int_{-\infty}^{\infty} \cdots \int_{-\infty}^{\infty} \frac{dp_1 \cdots dp_n}{2|p_1| \cdots 2|p_n|} \delta\left(\sum_{j=1}^n p_j\right) \delta\left(E - \sum_{j=1}^n |p_j|\right) \prod_{1 \leq i < j \leq n} \left(\frac{|p_i| - |p_j|}{p_i + p_j}\right)^2. \quad (3.1)$$

Зробивши в (3.1) заміну змінних $p_j = E x_j$, одержимо

$$\tilde{H}_n(E) \sim E^{-2}.$$

Зауважимо, що оскільки в нашому випадку $n = 2k+1$, то на порозі $\tilde{H}_n(\varepsilon) \sim \varepsilon^l$, де l – ціле число (3, 11, 23, ...). Сингулярності пропагатора, що дають таку порогову поведінку його скачка, повинні бути логарифмічними:

$$\tilde{F}_n(\varepsilon) \sim \varepsilon^{(n^2-3)/2} \ln(-\varepsilon).$$

IV. ВИСНОВКИ

Відомо, що квантовопольова густина енергії $\varepsilon_m(T)$ як функція температури, обчислена на основі точного розв'язку для статистичної суми, має вигляд, що збігається з густиною енергії газу вільних ферміонів

$$\varepsilon_m(T) = \frac{1}{2\pi} \int_{-\infty}^{\infty} dp \frac{\omega}{e^{\omega/T} + 1}, \quad \omega = \sqrt{p^2 + m^2}.$$

Це послужило одним із аргументів на користь того, що модель Ізинга еквівалентна системі вільних ферміонів і тому не становить особливого інтересу як модель для квантової теорії поля. Проте дослідження двоточкової функції Гріна показує помилковість подібних тверджень і свідчить про наявність нетривіальної динаміки. Так, зокрема, отриманий у цій роботі результат щодо структури сингулярностей пропагатора в комплексній площині квадрата імпульсу вказує на те, що в моделі присутні й інші n -точкові функції Гріна, на жаль, поки що не обчислені. Наприклад, точний розв'язок для 4-точкової кореляційної функції в моделі Ізинга міг би дати відповідь на питання про те, чи насправді перенормовані асимптотичні стани системи мають властивості квантових солітонів, на що вказує аналіз точно інтегрованих двовимірних моделей квантової теорії поля.

Я вдячний А. І. Бугрієві і В. М. Шадурі за допомогу та підтримку при написанні цієї праці, а також В. В. Куртеву за корисні обговорення.

Ця робота була підтримана програмою INTAS (грант INTAS-97-1312).

-
-
- [1] L. Onsager, Phys. Rev. **65**, 117 (1944).
 - [2] E. W. Montroll, R. A. Potts, J. C. Ward, J. Math. Phys. **4**, 308 (1963).
 - [3] T. T. Wu, B. M. McCoy, C. A. Tracy, E. Barouch, Phys. Rev. B **13**, 316 (1976).
 - [4] C. Tracy, B. McCoy, Phys. Rev. Lett. **31**, 1500 (1973).
 - [5] Ф. А. Березин, Усп. мат. наук **24**, 3 (1969).
 - [6] А. И. Бугрий, В. Н. Шадура, Журн. эксп. теор. физ. **109**, 1024 (1996).
 - [7] J. Palmer, C. Tracy, Adv. Appl. Math. **2** 329 (1981).

О. О. ЛІСОВИЙ

**ANALYTICAL PROPERTIES OF THE PROPAGATOR IN THE EXACTLY
SOLVABLE QUANTUM FIELD THEORY**

O. O. Lisovyy

*Taras Shevchenko Kyiv National University, Department of Physics,
6 acad. Glushkova Pr., Kyiv, UA-03022, Ukraine*

The quantum field theory interpretation of the exact solution of 2D Ising model is given. The momentum representation of the two-point correlation function is obtained and its analytic continuation on the time-like region ($p^2 < 0$) is fulfilled. It is shown that the propagator corresponding to the Ising model paramagnetic phase has the simple pole at $p^2 = -m^2$ and the logarithmic branch points at $p^2 = -9m^2, -25m^2, \dots$. These branch points correspond to the thresholds of the creation of n -particles intermediate states. Threshold and asymptotic behaviour of the propagator's discontinuity is evaluated.